

Starkniederschlagshöhen und -spenden gemäß KOSTRA-DWD-2020

Rasterfeld 141164

(Zeile 141, Spalte 164)

Regenspende und Bemessungsniederschlagswerte in Abhängigkeit von Wiederkehrzeit T und Dauerstufe D

| Dauerstufe D | | Wiederkehrzeit T | | | | | | | | | | | | | | | | | |
|--------------|-----|------------------|------------|------|------------|------|------------|------|------------|-------|------------|-------|------------|-------|------------|-------|------------|-------|------------|
| | | 1 a | | 2 a | | 3 a | | 5 a | | 10 a | | 20 a | | 30 a | | 50 a | | 100 a | |
| min | Std | mm | l / (s ha) | mm | l / (s ha) | mm | l / (s ha) | mm | l / (s ha) | mm | l / (s ha) | mm | l / (s ha) | mm | l / (s ha) | mm | l / (s ha) | mm | l / (s ha) |
| 5 | | 7,2 | 240,0 | 9,1 | 303,3 | 10,2 | 340,0 | 11,6 | 386,7 | 13,8 | 460,0 | 16,0 | 533,3 | 17,4 | 580,0 | 19,3 | 643,3 | 21,9 | 730,0 |
| 10 | | 9,5 | 158,3 | 11,9 | 198,3 | 13,3 | 221,7 | 15,3 | 255,0 | 18,0 | 300,0 | 20,9 | 348,3 | 22,8 | 380,0 | 25,2 | 420,0 | 28,7 | 478,3 |
| 15 | | 10,8 | 120,0 | 13,6 | 151,1 | 15,2 | 168,9 | 17,4 | 193,3 | 20,6 | 228,9 | 23,9 | 265,6 | 26,0 | 288,9 | 28,8 | 320,0 | 32,9 | 365,6 |
| 20 | | 11,8 | 98,3 | 14,8 | 123,3 | 16,6 | 138,3 | 19,0 | 158,3 | 22,5 | 187,5 | 26,1 | 217,5 | 28,4 | 236,7 | 31,5 | 262,5 | 35,9 | 299,2 |
| 30 | | 13,3 | 73,9 | 16,6 | 92,2 | 18,6 | 103,3 | 21,3 | 118,3 | 25,2 | 140,0 | 29,2 | 162,2 | 31,9 | 177,2 | 35,3 | 196,1 | 40,2 | 223,3 |
| 45 | | 14,8 | 54,8 | 18,5 | 68,5 | 20,8 | 77,0 | 23,8 | 88,1 | 28,1 | 104,1 | 32,6 | 120,7 | 35,5 | 131,5 | 39,3 | 145,6 | 44,8 | 165,9 |
| 60 | 1 | 15,9 | 44,2 | 19,9 | 55,3 | 22,4 | 62,2 | 25,6 | 71,1 | 30,3 | 84,2 | 35,1 | 97,5 | 38,2 | 106,1 | 42,3 | 117,5 | 48,2 | 133,9 |
| 90 | 1,5 | 17,6 | 32,6 | 22,0 | 40,7 | 24,7 | 45,7 | 28,3 | 52,4 | 33,5 | 62,0 | 38,8 | 71,9 | 42,3 | 78,3 | 46,8 | 86,7 | 53,3 | 98,7 |
| 120 | 2 | 18,9 | 26,3 | 23,6 | 32,8 | 26,5 | 36,8 | 30,4 | 42,2 | 35,9 | 49,9 | 41,6 | 57,8 | 45,3 | 62,9 | 50,2 | 69,7 | 57,2 | 79,4 |
| 180 | 3 | 20,8 | 19,3 | 26,0 | 24,1 | 29,2 | 27,0 | 33,4 | 30,9 | 39,5 | 36,6 | 45,8 | 42,4 | 49,9 | 46,2 | 55,3 | 51,2 | 63,0 | 58,3 |
| 240 | 4 | 22,3 | 15,5 | 27,8 | 19,3 | 31,3 | 21,7 | 35,8 | 24,9 | 42,3 | 29,4 | 49,0 | 34,0 | 53,4 | 37,1 | 59,2 | 41,1 | 67,5 | 46,9 |
| 360 | 6 | 24,5 | 11,3 | 30,6 | 14,2 | 34,4 | 15,9 | 39,4 | 18,2 | 46,5 | 21,5 | 53,9 | 25,0 | 58,8 | 27,2 | 65,1 | 30,1 | 74,2 | 34,4 |
| 540 | 9 | 26,9 | 8,3 | 33,6 | 10,4 | 37,8 | 11,7 | 43,3 | 13,4 | 51,1 | 15,8 | 59,3 | 18,3 | 64,6 | 19,9 | 71,6 | 22,1 | 81,5 | 25,2 |
| 720 | 12 | 28,8 | 6,7 | 36,0 | 8,3 | 40,4 | 9,4 | 46,3 | 10,7 | 54,7 | 12,7 | 63,4 | 14,7 | 69,0 | 16,0 | 76,5 | 17,7 | 87,2 | 20,2 |
| 1080 | 18 | 31,6 | 4,9 | 39,5 | 6,1 | 44,4 | 6,9 | 50,8 | 7,8 | 60,0 | 9,3 | 69,6 | 10,7 | 75,8 | 11,7 | 84,0 | 13,0 | 95,7 | 14,8 |
| 1440 | 24 | 33,8 | 3,9 | 42,2 | 4,9 | 47,4 | 5,5 | 54,3 | 6,3 | 64,2 | 7,4 | 74,4 | 8,6 | 81,0 | 9,4 | 89,8 | 10,4 | 102,3 | 11,8 |
| 2880 | 48 | 39,6 | 2,3 | 49,5 | 2,9 | 55,6 | 3,2 | 63,7 | 3,7 | 75,3 | 4,4 | 87,2 | 5,0 | 95,1 | 5,5 | 105,3 | 6,1 | 120,0 | 6,9 |
| 4320 | 72 | 43,5 | 1,7 | 54,4 | 2,1 | 61,1 | 2,4 | 69,9 | 2,7 | 82,6 | 3,2 | 95,8 | 3,7 | 104,4 | 4,0 | 115,6 | 4,5 | 131,7 | 5,1 |
| 5760 | 96 | 46,5 | 1,3 | 58,1 | 1,7 | 65,3 | 1,9 | 74,7 | 2,2 | 88,3 | 2,6 | 102,3 | 3,0 | 111,5 | 3,2 | 123,5 | 3,6 | 140,8 | 4,1 |
| 7200 | 120 | 48,9 | 1,1 | 61,1 | 1,4 | 68,7 | 1,6 | 78,6 | 1,8 | 92,9 | 2,2 | 107,7 | 2,5 | 117,4 | 2,7 | 130,0 | 3,0 | 148,2 | 3,4 |
| 8640 | 144 | 51,0 | 1,0 | 63,7 | 1,2 | 71,6 | 1,4 | 82,0 | 1,6 | 96,9 | 1,9 | 112,3 | 2,2 | 122,4 | 2,4 | 135,6 | 2,6 | 154,5 | 3,0 |
| 10080 | 168 | 52,8 | 0,9 | 66,0 | 1,1 | 74,2 | 1,2 | 84,9 | 1,4 | 100,4 | 1,7 | 116,4 | 1,9 | 126,8 | 2,1 | 140,5 | 2,3 | 160,1 | 2,6 |

Starkniederschlagshöhen und -spenden gemäß KOSTRA-DWD-2020

Rasterfeld 141164

(Zeile 141, Spalte 164)

Örtliche Unsicherheiten in Abhängigkeit von Wiederkehrzeit T und Dauerstufe D

| Dauerstufe D | | Wiederkehrzeit T | | | | | | | | |
|--------------|-----|------------------|-----|-----|-----|------|------|------|------|-------|
| | | 1 a | 2 a | 3 a | 5 a | 10 a | 20 a | 30 a | 50 a | 100 a |
| min | Std | ± % | ± % | ± % | ± % | ± % | ± % | ± % | ± % | ± % |
| 5 | | 12 | 11 | 11 | 12 | 12 | 13 | 13 | 13 | 14 |
| 10 | | 12 | 14 | 14 | 15 | 16 | 17 | 18 | 18 | 19 |
| 15 | | 14 | 16 | 17 | 18 | 19 | 20 | 20 | 21 | 21 |
| 20 | | 16 | 18 | 19 | 20 | 21 | 22 | 22 | 23 | 23 |
| 30 | | 17 | 19 | 20 | 21 | 22 | 23 | 24 | 24 | 25 |
| 45 | | 18 | 20 | 21 | 22 | 23 | 24 | 25 | 25 | 26 |
| 60 | 1 | 18 | 21 | 22 | 23 | 24 | 25 | 25 | 26 | 26 |
| 90 | 1,5 | 18 | 20 | 21 | 23 | 24 | 25 | 25 | 26 | 26 |
| 120 | 2 | 18 | 20 | 21 | 22 | 23 | 24 | 25 | 25 | 26 |
| 180 | 3 | 17 | 19 | 20 | 21 | 23 | 24 | 24 | 25 | 25 |
| 240 | 4 | 17 | 19 | 20 | 21 | 22 | 23 | 23 | 24 | 24 |
| 360 | 6 | 16 | 18 | 19 | 20 | 21 | 22 | 22 | 23 | 24 |
| 540 | 9 | 15 | 17 | 18 | 19 | 20 | 21 | 21 | 22 | 22 |
| 720 | 12 | 14 | 16 | 17 | 18 | 19 | 20 | 21 | 21 | 22 |
| 1080 | 18 | 14 | 16 | 17 | 18 | 19 | 19 | 20 | 20 | 21 |
| 1440 | 24 | 14 | 15 | 16 | 17 | 18 | 19 | 19 | 20 | 20 |
| 2880 | 48 | 13 | 15 | 15 | 16 | 17 | 18 | 18 | 18 | 19 |
| 4320 | 72 | 13 | 14 | 15 | 16 | 17 | 17 | 18 | 18 | 18 |
| 5760 | 96 | 14 | 14 | 15 | 16 | 16 | 17 | 17 | 18 | 18 |
| 7200 | 120 | 14 | 15 | 15 | 16 | 16 | 17 | 17 | 18 | 18 |
| 8640 | 144 | 14 | 15 | 15 | 16 | 16 | 17 | 17 | 18 | 18 |
| 10080 | 168 | 14 | 15 | 15 | 16 | 16 | 17 | 17 | 17 | 18 |

Parameter für abweichende T und D

Lokationsparameter ξ (Xi)

16,30685489

Skalenparameter α (Alpha)

5,65911118

Formparameter κ (Kappa)

-0,1

1. Koutsoyiannis-Parameter θ (Theta)

0,03044102

2. Koutsoyiannis-Parameter η (Eta)

0,77036875

Parameter für dauerstufenübergreifende Extremwertschätzung nach KOUTSOYIANNIS et al. 1998.

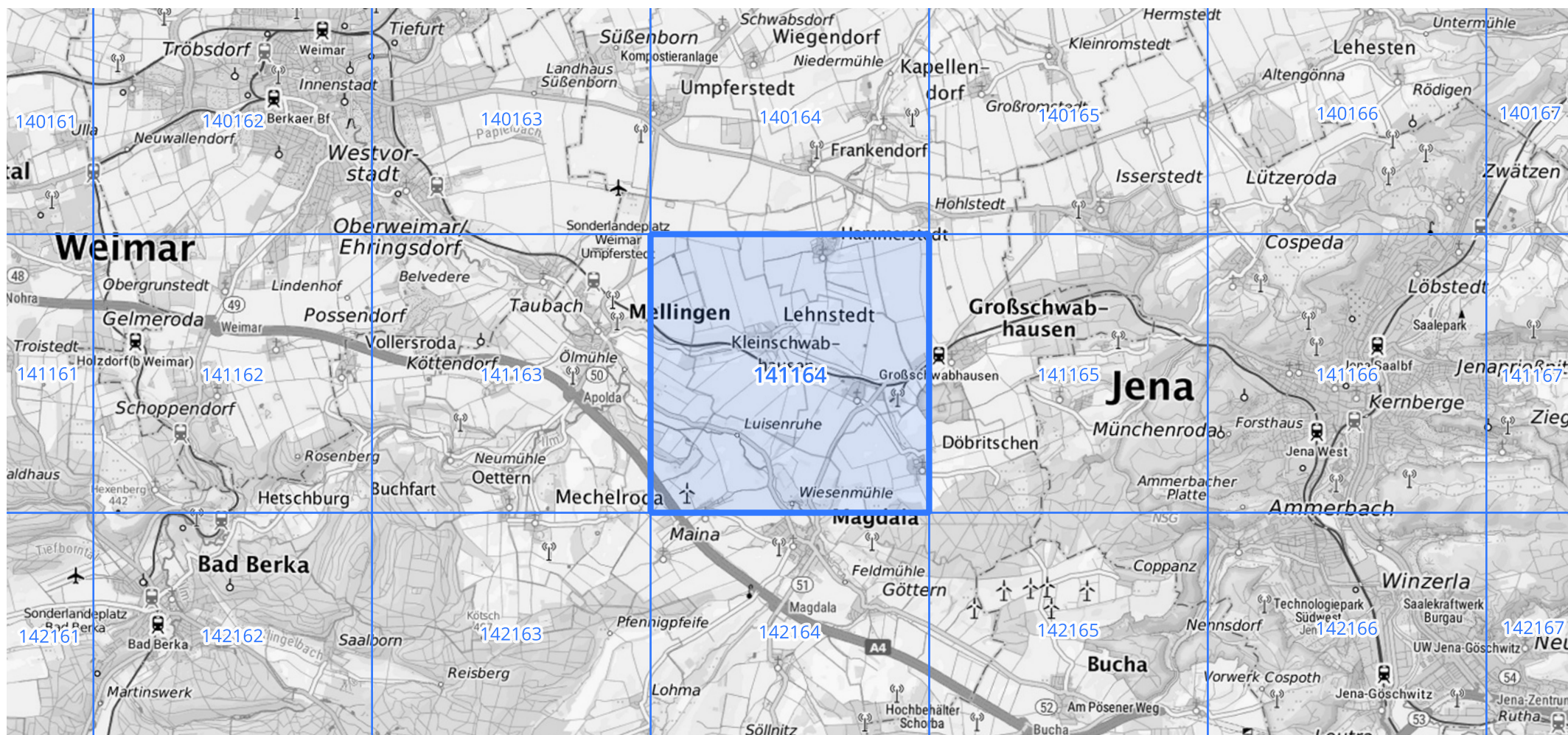
Siehe auch Anwendungshilfe zu KOSTRA-DWD-2020 des Deutschen Wetterdienstes.

Starkniederschlagshöhen und -spenden gemäß KOSTRA-DWD-2020

Rasterfeld 141164

(Zeile 141, Spalte 164)

Übersichtskarte des Rasterfeldes 141164, M 1 : 100 000



Quelle Rasterdaten: KOSTRA-DWD-2020 des Deutschen Wetterdienstes, Stand 12/2022.

Seite 3 von 3

Kartendarstellung: © Bundesamt für Kartographie und Geodäsie (2023), Datenquellen: https://sgx.geodatenzentrum.de/web_public/gdz/datenquellen/Datenquellen_TopPlusOpen.html

Für die Richtigkeit und Aktualität der Angaben wird keine Gewähr übernommen. Erstellt 01/2023.